

УДК 548.4 : 534.8

© 1990

## ДИСПЕРСИЯ СКОРОСТИ ПРОДОЛЬНЫХ УЛЬТРАЗВУКОВЫХ ВОЛН В NaCl

*A. M. Петченко*

Проведено измерение скорости распространения продольных акустических волн в кристаллах NaCl ориентации  $\langle 100 \rangle$  в диапазоне частот 7.5—217.5 МГц при комнатной температуре. Опыты проводились на недеформированных и тех же образцах после деформации, изменяющейся в интервале 0.2—1 %. Обнаружено смещение дисперсионных кривых по амплитуде и частоте с ростом деформации и при последующем облучении кристалла рентгеновскими лучами. Установлены зависимости коэффициента демпфирования  $B$  и средней эффективной длины дислокационной петли  $L$  от плотности дислокаций.

Исследования дисперсии упругих волн в кристаллах, содержащих легкоподвижные дислокации, проводились крайне редко [1], хотя полезность сведений, получаемых в таких опытах, очевидна. В частности, из измеренных частотных спектров для скорости ультразвука можно определить такие важные параметры дислокационной структуры, как плотность дислокаций  $\Lambda$ , длину дислокационного сегмента  $L$ , а также найти коэффициент демпфирования дислокаций  $B$ , которые могут быть использованы для проверки соответствующих дислокационных теорий. Недавно [2] изучалось влияние деформации  $\epsilon$  на частотную зависимость дислокационного декремента  $\Delta(f)$  и было установлено, что величина  $\epsilon$  существенно влияет на поведение резонансных кривых  $\Delta(f)$ , смещающая их по амплитуде и частоте. При этом коэффициент вязкости  $B$ , определенный из соответствующих высокочастотных асимптот указанных кривых, оказался не зависимым от  $\Lambda$ . Можно надеяться, что аналогичный эффект смещения должен проявиться и на дисперсионных кривых  $v(f)$  в силу определенной взаимосвязи акустических характеристик — затухания и скорости звука, что явилось бы дополнительным экспериментальным подтверждением надежности данных [2]. Заметим, что некоторые свидетельства на этот счет уже имеются [1]. Так, проводя опыты на исходных, а затем деформированных кристаллах ( $\epsilon=0.06\%$ ) в области частот 10—100 МГц, авторы [1] обнаружили, что деформация увеличивает дисперсию от 0.5 до 4 % и смещает область дисперсии в сторону более низких частот. Однако данные [1] следует пока считать предварительными. Для более полного изучения явления дисперсии безусловно требуется расширить диапазон используемых частот и деформаций, что и является целью настоящей работы.

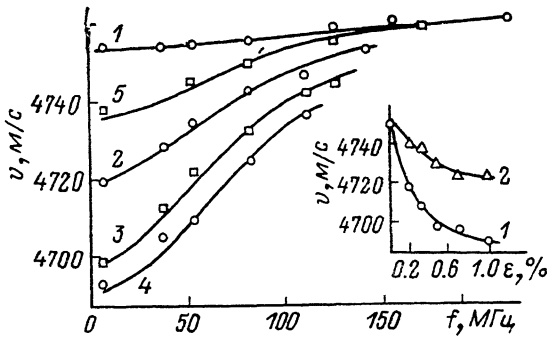
Для изучения дисперсии скорости ультразвука использовались монокристаллы NaCl, ориентированные вдоль оси  $\langle 100 \rangle$ , размер которых  $20 \times 20 \times 30$  мм. Технология приготовления, режим отжига и примесный состав приведены в [2, 3]. Опыты проводились импульсным эхо-методом на продольных волнах в диапазоне частот 7.5—217.5 МГц на установке [4]. Кристаллы подвергали деформации сжатием до появления остаточной деформации 0.2—1 % на испытательной машине типа «Инстрон». Скорость перемещения захвата машины  $3 \cdot 10^{-6}$  с<sup>-1</sup>. Точность измерений абсолютных значений скорости в указанном диапазоне частот 0.08—0.15 %. Чтобы исключить временной фактор, связанный со старением образца,

все измерения проводились через 20 мин после деформации в соответствии с [5] при комнатной температуре.

На рис. 1 представлены результаты экспериментального исследования частотной зависимости скорости ультразвука для исходного и деформированных кристаллов NaCl. Видно, что ход кривых  $v(f)$  для указанных кристаллов существенно отличается. В случае недеформированного образца величина скорости  $v$  линейно нарастает с увеличением частоты  $f$ . Однако с появлением в кристалле при его деформировании легкоподвижных дислокаций характер в поведении кривых  $v(f)$  резко меняется. По мере увеличения деформации образца область дисперсии расширяется и все более смещается в сторону низких частот. При этом наиболее сильным изменениям подвергается низкочастотная ветвь зависимостей  $v(f)$  (см. вставку к рис. 1). Видно, что кривая 1 ( $f=7.5$  МГц) идет значительно круче кривой 2 ( $f=82.5$  МГц). Однако начиная с деформации  $\sim 0.7\%$  указанное смещение прекращается и в дальнейшем протекает в противопо-

Рис. 1. Зависимость скорости ультразвука от частоты.

1 — недеформированный образец;  
2, 3, 4 — с остаточной деформацией  $0.2, 0.5, 1\%$  соответственно; 5 — с остаточной деформацией  $0.5\%$  и облученным рентгеновскими лучами дозой 300 Р.



ложном направлении, что более наглядно можно наблюдать на рис. 3, 1. К сожалению, область деформаций выше  $1\%$ , при которой происходит укорочение дислокационных петель, приводящее к смещению зависимостей  $\Delta(f)$  [2], в настоящей работе не исследовалась из-за сильного увеличения затухания в образце, влияющего на точность измерений  $v$ . В связи с этим было решено уменьшить величину  $L$  [6] путем облучения образца с остаточной деформацией  $0.5\%$  рентгеновскими лучами дозой в 300 Р на установке типа РУП-200. В результате облучения кривая 3 переместилась в более высокочастотную область (рис. 1, 5), а при дозе облучения в 750 Р практически совпала с кривой 1 для недеформированного кристалла (на рисунке не показано).

Для анализа результатов по данным рис. 1 были определены зависимости дефекта модуля от частоты (рис. 2). Сплошные линии — теоретические кривые, взятые из [7]. При этом использовалось соотношение  $\Delta C_{11}/C_{11}=2\Delta v/v_\infty$ , где  $v_\infty=4762$  м/с — скорость, измеренная при  $f=217.5$  МГц. Видно, что деформация и облучение существенно влияют на частотное положение и уровень величины  $\Delta C_{11}/C_{11}$ . Экспериментальные точки (рис. 2) хорошо описываются частотным профилем для изменения модуля, рассчитанным теоретически в случае экспоненциального распределения дислокационных петель по длинам. Согласно [8], выражения для дефекта модуля, экстраполированного на область низких частот  $(\Delta C_{11}/C_{11})_0$ , и частоты  $\omega_m=2\pi f_m$  максимума имеют вид

$$(\Delta C_{11}/C_{11})_0 = (24\Omega AL^2/\pi^3)(1-v), \quad (1)$$

$$\omega_m = 2\pi Gb^2 \cdot 0.084/BL^2(1-v), \quad (2)$$

где  $\Omega$  — ориентационный фактор,  $G$  — модуль сдвига в действующей системе скольжения,  $b$  — вектор Бюргерса,  $v$  — коэффициент Пуассона,  $A$  — плотность дислокаций,  $L$  — длина дислокационного сегмента,  $B$  — константа демпфирования. Уравнения (1), (2) при подстановке соответствующих величин позволяют определить параметры  $B$  и  $L$ . Взяв значения  $\Omega=0.5$ ,  $GL^2=29.01 \cdot 10^{-5}$  дин,  $v=0.32$ , экспериментальные кривые  $\Lambda(\epsilon)$ ,  $f_m(\epsilon)$  из [2] и определив  $(\Delta C_{11}/C_{11})_0$  из рис. 2, мы нашли функции

нальные зависимости  $B(\Lambda)$  и  $L(\Lambda)$  (рис. 3). Можно отметить, что ход кривых качественно согласуется с полученным нами ранее на этих же кристаллах из частотной зависимости декремента  $\Delta(f)$  [2]. Однако если говорить о количественном сравнении, то здесь обнаружено некоторое несогласие. Особенно это касается величины  $B$ , которая по абсолютной величине оказалась примерно в три раза ниже значений  $B$  из [2]. Анализ результатов показал, что такое различие в оценках  $B$  связано с ошибкой, которая допускается при определении экстраполяцией предельных значений  $(\Delta C_{11}/C_{11})_0$ . Сопоставляя результаты для  $(\Delta C_{11}/C_{11})_0$ , полученные на образцах NaCl с остаточной деформацией 1 % в настоящей работе, и результаты низкочастотных измерений [9], выявили, что экстраполированные значения  $(\Delta C_{11}/C_{11})_0$  приблизительно в три раза выше найденных в [9]. Учет этого устраняет расхождение в значениях  $B$ , о котором упоминалось выше.

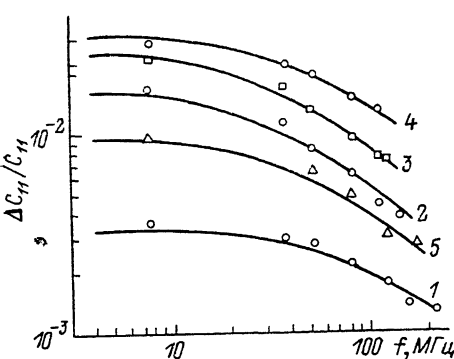


Рис. 2. Частотная зависимость изменения модуля  $\Delta C_{11}/C_{11}$ .

Обозначения те же, что и на рис. 1.

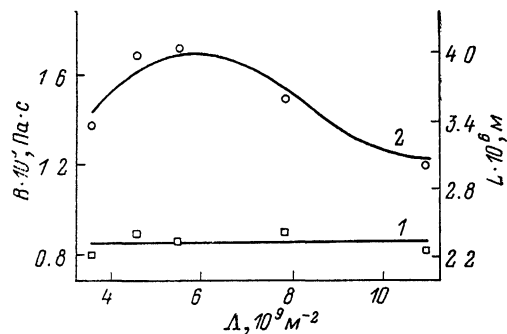


Рис. 3. Зависимость коэффициента демпфирования (1) и средней эффективной длины дислокационного сегмента (2) от плотности дислокаций.

Если величину  $\omega_m$  определить из экспериментальных кривых, следуя [1], как частоту, при которой изменение скорости равно половине максимального, то значения  $B$  получатся намного ниже, чем в [2]. В этом случае достичь согласия результатов за счет учета различия в модулях не представляется возможным. Следует заметить, что если использование уравнения (1) в указанных расчетах приводит к получению заниженных значений  $B$ , то его применение для таких целей в сочетании с декрементом затухания в случае низкочастотных измерений дает завышенные оценки  $B$  [10] по сравнению с данными, полученными обычно принятыми методами [2, 11], хотя в этом случае завышение оценок  $B$ , по-видимому, связано с большим затуханием, которое, по данным [12], примерно на 1.5 порядка выше определенного экстраполяцией из мегагерцевой области частот. В связи с этим в [12] сделан вывод о невозможности описания в рамках теории [8] измерений, проводимых в кГц- и МГц-диапазонах частот, с помощью единого механизма затухания. Согласно [12], результаты измерений, полученные в указанных диапазонах частот, могут быть описаны общим частотным профилем лишь в случае использования для каждой из частотных ветвей различных значений  $B$ .

Кроме этого, обнаружено также и количественное расхождение в значениях дисперсии скорости ультразвука между данными настоящей работы и результатами [1]. В отличие от [1] максимальное изменение скорости, которое нам удалось зафиксировать при  $\epsilon = 1 \%$ , составляет 1.3 %, что согласуется с данными [6, 8]. Сравнительно большие изменения скорости, наблюдаемые в [1], пожалуй, можно получить либо в условиях проведения измерений сразу после деформации образца [5], о которых в [1] не говорится. Однако, несмотря на некоторые различия в количествен-

ных оценках, результаты настоящей работы находятся в хорошем качественном согласии с опытными данными [¹] и теорией [⁸]. Согласно теоретическим представлениям [⁸], при низких частотах дислокация колеблется синхронно с приложенным напряжением и кажущаяся жесткость ниже, чем у кристалла с закрепленными дислокациями. С ростом частоты такая синхронность нарушается и модуль упругости достигает своего истинного значения, что обусловлено уменьшением амплитуды колебаний дислокаций, приводящим к снижению их вклада в общую деформацию кристалла.

Таким образом, изучая частотную зависимость скорости ультразвука в кристаллах NaCl, находящихся в исходном и деформированном состояниях, в настоящей работе удалось выявить ряд особенностей. В частности, установлено, что дисперсия скорости, связанная с рассеянием звука на дислокациях, существенно зависит от плотности подвижных дислокаций. Влияние дислокаций при этом может проявляться вплоть до частот 150—200 МГц, что, по-видимому, необходимо учитывать при измерениях модулей упругости в кристаллах.

Обнаружена инверсия в смещении частотных спектров  $v(f)$  при непрерывном увеличении деформации образца, согласующегося с эффектом смещения резонансных кривых  $\Delta(f)$ , наблюдавшихся ранее [²] в таких условиях.

Выявлено несоответствие данных для  $B$  и  $L$ , получаемых из частотных спектров для скорости и затухания ультразвука, что связывается с различием измеренных и экстраполированных из мегагерцевой области частот низкочастотных значений  $(\Delta C_{11}/C_{11})_0$ .

#### Список литературы

- [1] Granato A., Deklerk J., Truell R. // Phys. Rev. 1957. V. 108. N 3. P. 895—896.
- [2] Петченко А. М., Мозговой В. И., Сиренко А. Ф. // ФТТ. 1989. Т. 31. № 6. С. 320—322.
- [3] Петченко А. М., Мозговой В. И., Урусовская А. А. // ФТТ. 1988. Т. 30. № 10. С. 2992—2995.
- [4] Петченко А. М., Строилова Д. Л., Мозговой В. И. // Синтез и исследование оптических материалов. Харьков, 1987. № 19. С. 133—139.
- [5] Петченко А. М., Мозговой В. И., Сиренко А. Ф., Урусовская А. А. // ФТТ. 1989. Т. 31. № 6. С. 127—130.
- [6] Труэлл Р., Эльбаум Ч., Чик Б. Ультразвуковые методы в физике твердого тела / Под ред. И. Г. Михайлова. М.: Мир, 1972. 307 с.
- [7] Mason W. R., Douglas E., McDonald // J. Appl. Phys. 1971. V. 42. N 5. P. 1836—1842.
- [8] Гранато А., Люкке К. // Физическая акустика / Под ред. У. Мэзона. Т. 4. Ч. А. М.: Мир, 1969. С. 261—321.
- [9] Сивертсен Дж. М. // Внутреннее трение и дефекты в металлах / Под ред. В. С. Постникова. М.: Металлургия, 1965. С. 222—229.
- [10] Kardashev B. K., Kustov S. B., Lebedev A. B., Berezhkova G. V., Perstnev P. P., Appel F., Messerschmidt U. // Phys. St. Sol. (a). 1985. V. 91. N 1. P. 79—87.
- [11] Alshits V. I., Darinskaya E. V., Urusovskaya A. A. // Phys. St. Sol. (a). 1985. V. 91. N 2. P. 533—542.
- [12] Наундорф В., Люкке К. // Механизмы внутреннего трения в твердых телах. М.: Наука, 1976. С. 91—95.

Харьковский институт  
инженеров городского хозяйства

Поступило в Редакцию  
19 декабря 1989 г.  
В окончательной редакции  
6 июня 1990 г.